



**Rasgos funcionales reproductivos de la comunidad de hongos xilófagos en un bosque
montano bajo**

Liz Tatiana Velasco Ospina

Adriana Corrales Osorio

María Ximena Rodríguez Bocanegra

**Universidad del Rosario
Facultad de Ciencias Naturales
Bogotá D.C., Colombia
2023**

**Rasgos funcionales reproductivos de la comunidad de hongos xilófagos en un bosque
montano bajo**

Liz Tatiana Velasco Ospina

Adriana Corrales Osorio

María Ximena Rodríguez Bocanegra

Trabajo de grado presentado como requisito para obtener el título de:

Pregrado en Biología

Director

Adriana Corrales PhD

Co-director

María Ximena Rodríguez-Bocanegra PhD

**Facultad de Ciencias Naturales
Biología
Universidad del Rosario
Bogotá D.C., Colombia
2023**

Material suplementario



Figura S1. Clasificación de los cuerpos fructíferos encontrados en la EEJCM: pileado (a), agaricoide (b), resupinado (c) y clavado (d).

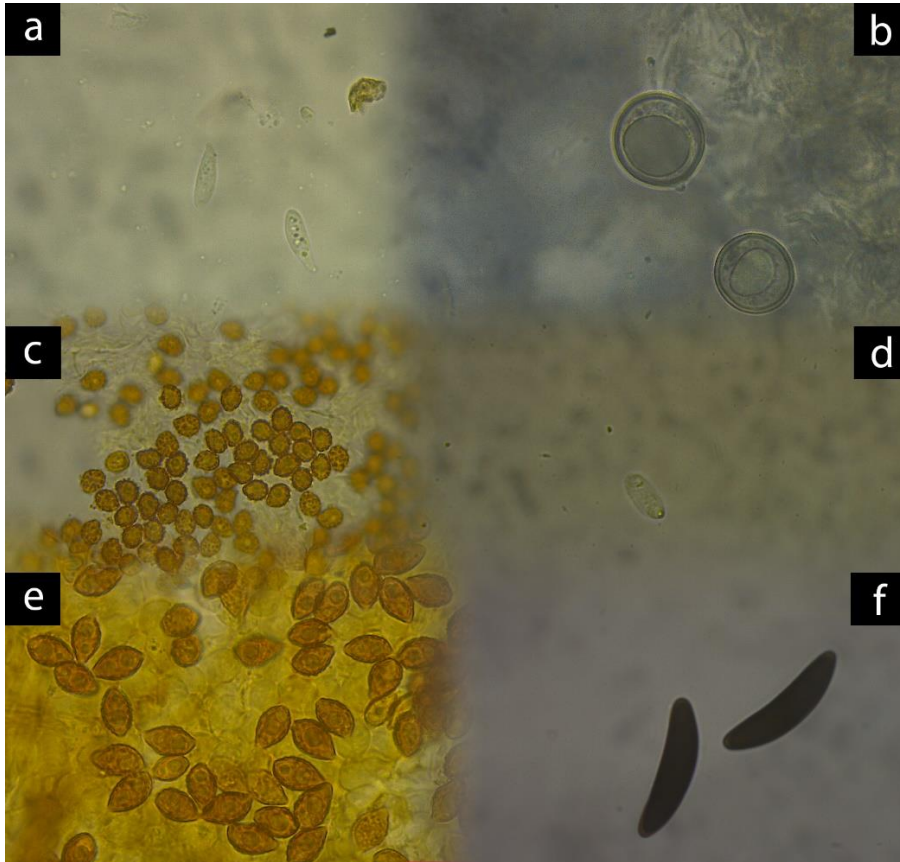


Figura S2. Clasificación de: la forma de las esporas encontradas en los esporocarpos que estaban fructificando: fusiforme (a), globosa (b), ovoide (c-e), elipsoide (d) y alatoide (f); junto con el tipo de ornamentaciones que se encontraron en las esporas: lisa (a-b-d-f), espinosa (c), y finamente verrucosa (e); y el tipo de pigmentación, melanizada (c-e-f) o hialina (a-b-d). Esta no es una clasificación natural ni estrictamente taxonómica.

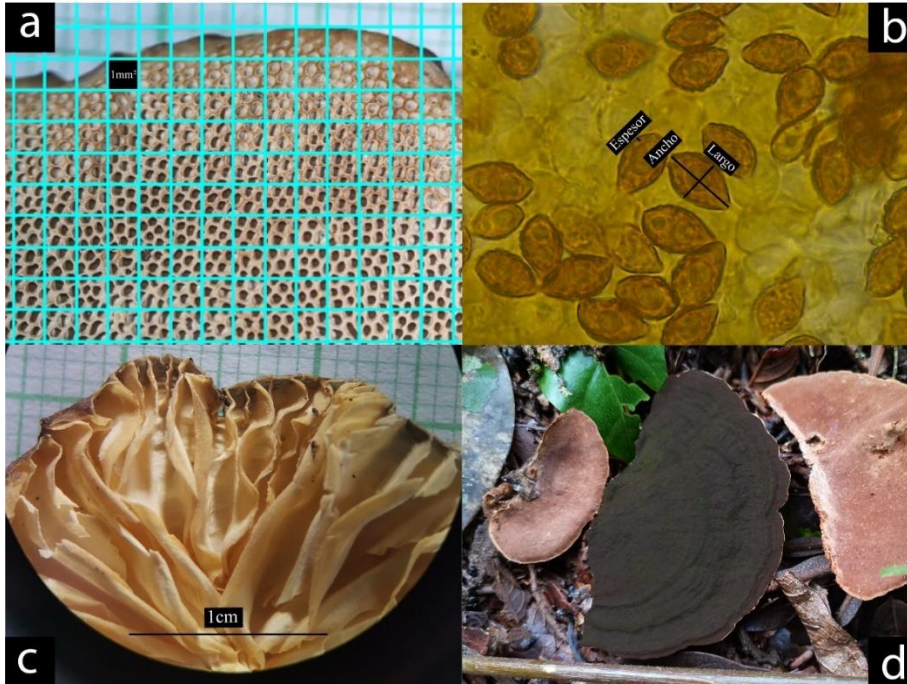


Figura S3. Visualización de la metodología empleada en la toma de algunos rasgos funcionales tales como: la cantidad de poros presentes en un mm^2 (a); medición del ancho, largo de las esporas y el espesor de la pared (b); cantidad de lamelas presentes en 1cm (c) y medición del área fértil de los hongos fértiles (d).

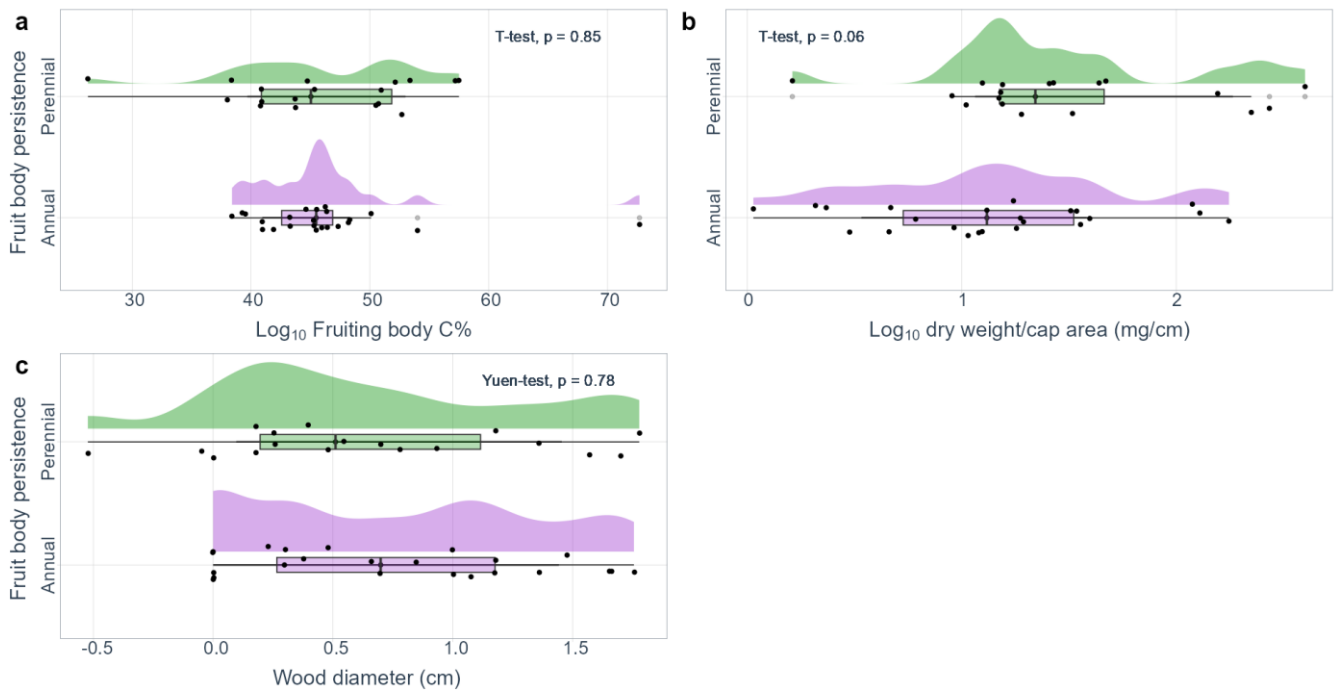


Figura S4. Comparaciones no significativas del contenido elemental de carbono (a); área específica del cuerpo fructífero (b) y diámetro de la madera (c) de acuerdo con la persistencia de las estructuras fructíferas (anual y perenne).

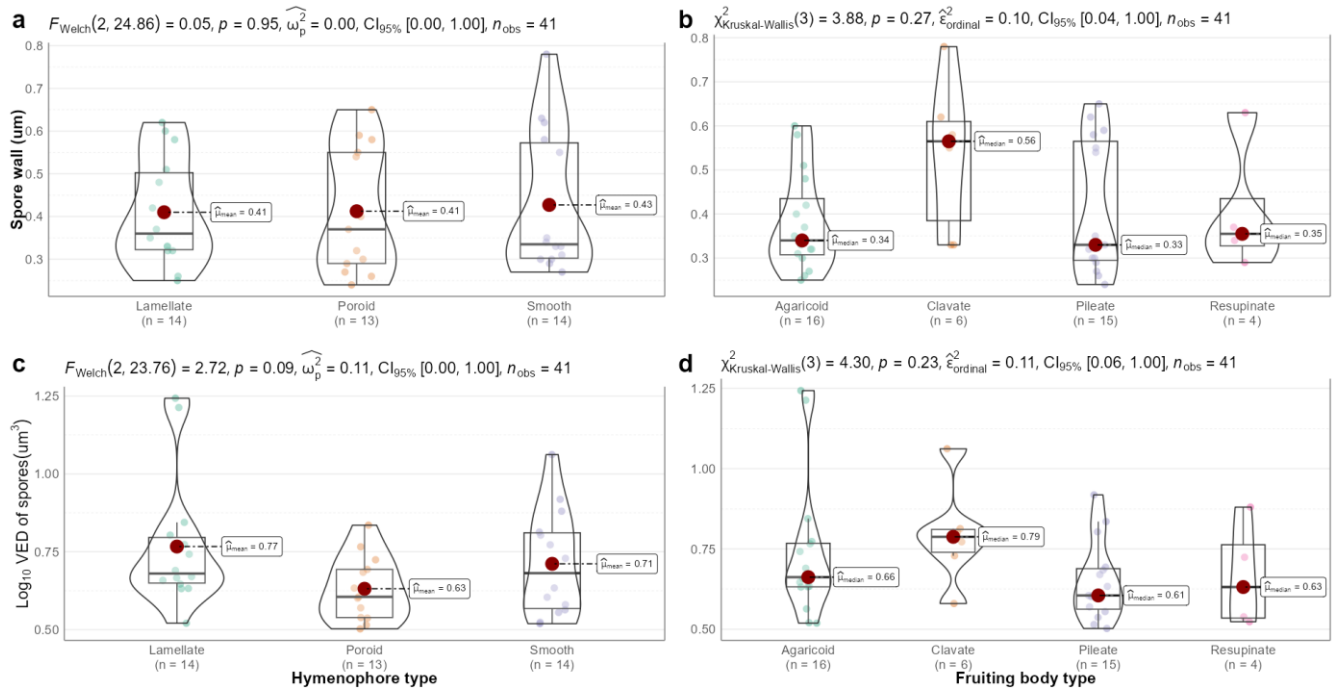


Figura S5. Comparaciones no significativas entre el espesor de la pared de las esporas en relación con: tipo del himenóforo (a); tipo de cuerpo fructífero (b); Diámetro equivalente al volumen de las esporas con relación a: tipo del himenóforo (c); tipo de cuerpo fructífero (d).

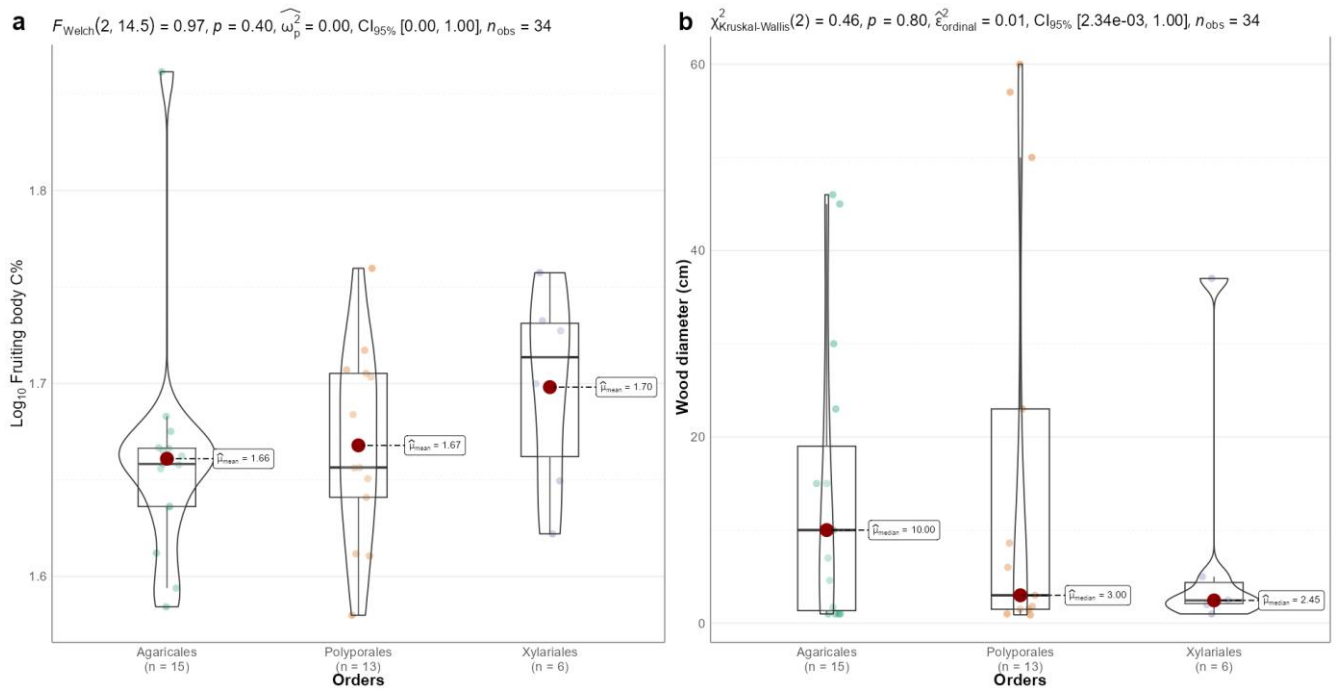


Figura S6. Comparación significativa entre los tres órdenes más abundantes de los hongos en relación con: el porcentaje de carbono de los cuerpos fructíferos (a); el diámetro de la estructura reproductivo (b).

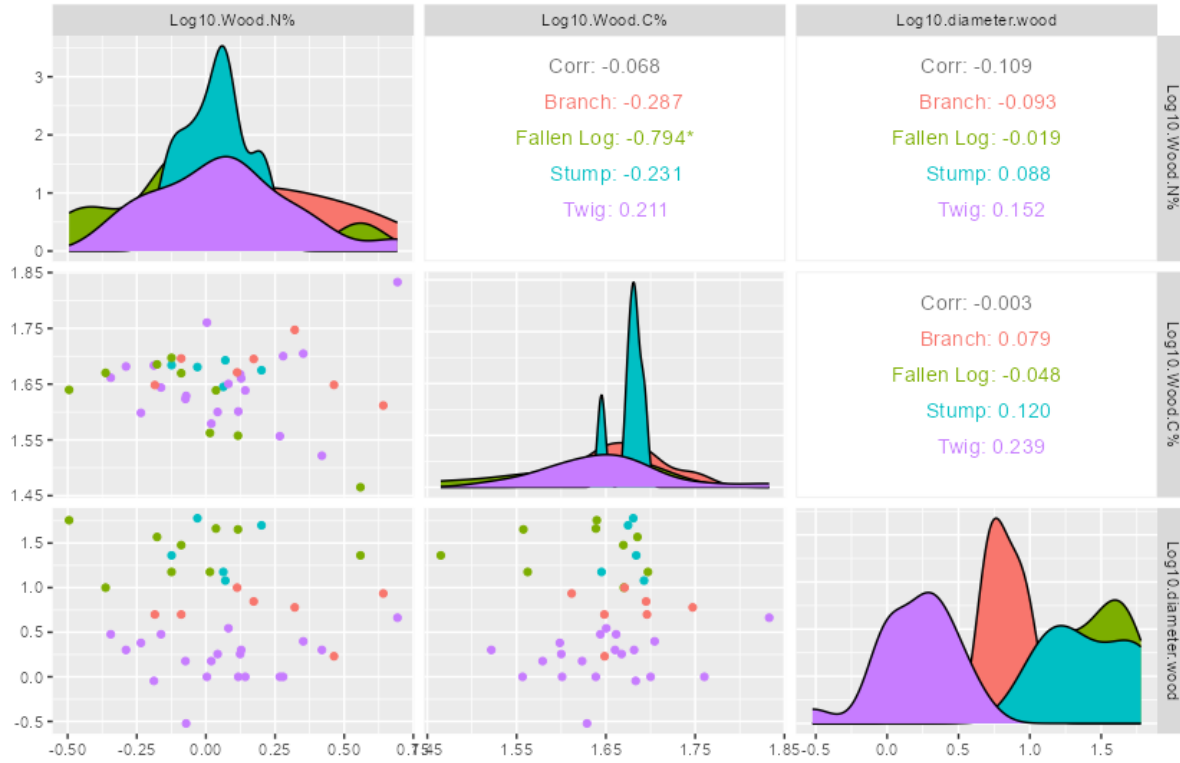


Figura 12. Relación entre los porcentajes elementales de C y N en la madera y su diámetro; “*” valor $p < 0.05$.

Tabla S1. Proporciones del C y N del cuerpo fructífero y la madera sobre la cual se encontraron los hongos.

Categoría		Cuerpo fructífero			Madera		
		%C	%N	C:N	%C	%N	C:N
Especies	Media	46.05	3.98	13.80	45.08	1.39	46.43
	Mediana	45.41	3.25	13.00	45.22	1.12	36.68
	Mínimo	26.27	1.36	4.99	29.18	0.31	8.05
	Máximo	72.68	9.47	28.10	68.06	4.92	136.37
	SD	7.16	1.85	5.70	6.69	1.00	27.79
	Individuos	42					

Tabla S2. Pruebas de comparaciones múltiples Tukey entre los diferentes tipos de cuerpo fructífero en base al Log_{10} del peso seco; Log_{10} del tamaño del área fértil medida; Log_{10} del % nitrógeno en el cuerpo fructífero; Log_{10} de la proporción C:N del hongo; Log_{10} del área específica del cuerpo fructífero (peso seco/área fértil).

Prueba Tukey				
	Grupo 1	Grupo 2	P-valor ajustado	Significancia
Log₁₀ peso seco	Agaricoide	Clavado	0.092	ns
	Agaricoide	Pileado	0.0009	****
	Agaricoide	Resupinado	0.033	*
	Clavado	Pileado	0.891	ns
	Clavado	Resupinado	0.901	ns
	Pileado	Resupinado	0.998	ns
		Agaricoide	Clavado	0.375

Log₁₀ área fértil	Agaricoide	Pileado	0.011	*
	Agaricoide	Resupinado	0.087	ns
	Clavado	Pileado	0.001	***
	Clavado	Resupinado	0.01	*
	Pileado	Resupinado	0.987	ns
Log₁₀ %N CF	Agaricoide	Clavado	0.167	ns
	Agaricoide	Pileado	0.2	ns
	Agaricoide	Resupinado	0.009	**
	Clavado	Pileado	0.932	ns
	Clavado	Resupinado	0.535	ns
Log₁₀ C: N CF	Pileado	Resupinado	0.183	ns
	Agaricoide	Clavado	0.063	*
	Agaricoide	Pileado	0.327	ns
	Agaricoide	Resupinado	0.023	*
	Clavado	Pileado	0.58	ns
Log₁₀ peso seco/ área fértil	Clavado	Resupinado	0.902	ns
	Pileado	Resupinado	0.251	ns
	Agaricoide	Clavado	0.00001	*****
	Agaricoide	Pileado	0.028	*
	Agaricoide	Resupinado	0.291	ns
Log₁₀ peso seco/ área fértil	Clavado	Pileado	0.01	**
	Clavado	Resupinado	0.067	ns
	Pileado	Resupinado	0.999	ns

Tabla S3. Pruebas de comparaciones múltiples Tukey entre los diferentes ordenes en base al Log_{10} del peso seco; Log_{10} del tamaño del área fértil medida; Log_{10} del % nitrógeno en el cuerpo fructífero; Log_{10} de la proporción C:N del hongo; Log_{10} del área específica del cuerpo fructífero (peso seco/área fértil).

Prueba Tukey				
	Grupo 1	Grupo 2	P-valor ajustado	Significancia
Log₁₀ peso seco	Agaricales	Polyporales	0.0001	*****
	Agaricales	Xylariales	0.008	**
	Polyporales	Xylariales	0.725	ns
Log₁₀ área fértil	Agaricales	Polyporales	0.012	*
	Agaricales	Xylariales	0.443	ns
	Polyporales	Xylariales	0.001	***
Log₁₀ %N CF	Agaricales	Polyporales	0.033	*
	Agaricales	Xylariales	0.014	*
	Polyporales	Xylariales	0.740	ns
Log₁₀ C: N CF	Agaricales	Polyporales	0.020	*
	Agaricales	Xylariales	0.003	**
	Polyporales	Xylariales	0.434	ns
Log₁₀ peso seco/ área fértil	Agaricales	Polyporales	0.0007	*****
	Agaricales	Xylariales	0.0000006	*****
	Polyporales	Xylariales	0.01	*

Tabla S4. Pruebas de comparaciones múltiples Dunn's entre los diferentes ordenes en base al Log_{10} del peso seco; Log_{10} del tamaño del área fértil medida; Log_{10} del % nitrógeno en el cuerpo fructífero; Log_{10} de la proporción C:N del hongo; Log_{10} del área específica del cuerpo fructífero (peso seco/área fértil).

Prueba Dunn's				
	Grupo 1	Grupo 2	P-valor ajustado	Significancia
Log₁₀ diámetro equivalente del volumen de la spora	Alantoide	Elipsoide	0.0003	****
	Alantoide	Fusiforme	0.001	***
	Alantoide	Globoso	0.608	ns
	Alantoide	Ovoide	0.007	**
	Elipsoide	Fusiforme	0.506	ns
	Elipsoide	Globoso	0.001	***
	Elipsoide	Ovoide	0.222	ns
	Fusiforme	Globoso	0.005	**
	Fusiforme	Ovoide	0.523	ns
	Globoso	Ovoide	0.02	*
	Espesor de la pared de la spora	Alantoide	Elipsoide	0.0001
Alantoide		Fusiforme	0.0000189	****
Alantoide		Globoso	0.0000376	****
Alantoide		Ovoide	0.01	*
Elipsoide		Fusiforme	0.510	ns
Elipsoide		Globoso	0.681	ns
Elipsoide		Ovoide	0.083	ns
Fusiforme		Globoso	0.770	ns
Fusiforme		Ovoide	0.027	*
Globoso		Ovoide	0.043	*